

## ТЕРМОУПРУГАЯ РЕАКЦИЯ ДВУХСЛОЙНОГО КРУГОВОГО ДИСКА С ЦЕНТРАЛЬНЫМ КРУГОВЫМ ВЫРЕЗОМ

Э.М. Карташов, заведующий кафедрой, И.А. Нагаева, доцент

кафедра Высшей и прикладной математики, МИТХТ им. М.В. Ломоносова

e-mail: nagaevai@gmail.com

**И**сследована термическая реакция двухслойного диска с внутренним круговым вырезом. Установлены закономерности термоупругих напряжений при температурном нагреве граничных круговых поверхностей диска.

The thermal response of a two-layer disc with an inner circular indentation was studied. The regularities of the thermoelastic stresses upon thermal heating of the boundary circular surfaces of the disk were determined.

**Ключевые слова:** термоупругость, температурный нагрев, деформация, температура, напряжения.

**Key words:** thremoelasticity, thermal heating, deformation, temperature, stress.

Двухслойный диск  $\eta \leq r \leq r_2$ ,  $r_2 \leq r \leq r_3$  с центральным круговым вырезом  $0 \leq r \leq r_1$  достаточно тонкий по толщине находится в условиях стационарного температурного нагрева с радиальным потоком теплоты через граничные круговые поверхности диска  $r = r_1$  и  $r = r_3$  (рис. 1). На круговой поверхности  $r = r_2$  реализуется плотный тепловой контакт: теплофизические характеристики слоёв отличаются не слишком значительно. Возникающее вследствие этого термонапряжённое состояние является плоским. Изменение толщины диска, вызванное наличием термонапряжённого состояния, не учитывается; все механические и тепловые константы материала не зависят от температуры. Вследствие осевой симметрии задачи все величины, а именно напряжения  $\sigma_{rr}$ ,  $\sigma_{\varphi\varphi}$ , деформации  $\varepsilon_{rr}$ ,  $\varepsilon_{\varphi\varphi}$ , перемещение  $U_r$ , температура  $T$  зависят только от радиуса  $r$  полярной системы координат  $(r, \varphi)$ . Изучается термическая реакция диска на температурный нагрев при свободных от напряжения круговых поверхностях  $r = r_1$  и  $r = r_3$ :

$$\sigma_{rr}(r)|_{r=r_1} = 0, \sigma_{rr}(r)|_{r=r_3} = 0. \quad (1)$$

Этот процесс представляет практический интерес для ряда инженерных направлений [1], в частности машиностроения, энергетики, электроники, атомной промышленности, авиационной и космической техники.

Радиальное и тангенциальное напряжения связаны с перемещением соотношениями

$$\sigma_{rr}(r) = \frac{2G}{1-\nu} \left[ \frac{dU_r(r)}{dr} + \frac{\nu}{r} U_r(r) - (1+\nu)\alpha T(r) \right]; \quad (2)$$

$$\sigma_{\varphi\varphi}(r) = \frac{2G}{1-\nu} \left[ \frac{1}{r} U_r(r) + \nu \frac{dU_r(r)}{dr} - (1+\nu)\alpha T(r) \right]; \quad (3)$$

где  $G$  – модуль сдвига;  $\nu$  – коэффициент Пуассона; при этом  $2G(1+\nu) = E$ , где  $E$  – модуль Юнга;  $\alpha$  – коэффициент линейного теплового

расширения.

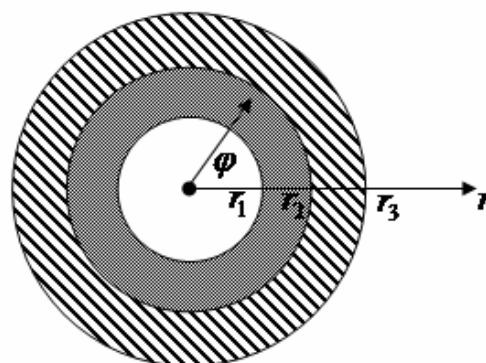


Рис. 1. Геометрия области.

Постановка задачи в перемещениях для двухслойной области (рис. 1) имеет вид:

$$\frac{d^2 U_r^{(i)}}{dr^2} + \frac{1}{r} \frac{dU_r^{(i)}}{dr} - \frac{1}{r^2} U_r^{(i)} = (1+\nu_i)\alpha_i \frac{dT_i(r)}{dr}, \quad (4)$$

$$i=1, \eta < r < r_2; \quad i=2, r_2 < r < r_3;$$

$$\sigma_{rr}^{(1)}(r)|_{r=r_1} = 0, \sigma_{rr}^{(2)}(r)|_{r=r_3} = 0; \quad (5)$$

$$\sigma_{rr}^{(1)}(r)|_{r=r_2} = \sigma_{rr}^{(2)}(r)|_{r=r_2}; \quad (6)$$

$$U_r^{(1)}(r)|_{r=r_2} = U_r^{(2)}(r)|_{r=r_2}; \quad (7)$$

$$\frac{d^2 T_1}{dr^2} + \frac{1}{r} \frac{dT_1}{dr} = 0, \eta < r < r_2; \quad (8)$$

$$\frac{d^2 T_2}{dr^2} + \frac{1}{r} \frac{dT_2}{dr} = 0, r_2 < r < r_3; \quad (9)$$

$$T_1(r)|_{r=r_2} = T_2(r)|_{r=r_2}; \quad (10)$$

$$\lambda_1 \frac{dT_1(r)}{dr} \Big|_{r=r_2} = \lambda_2 \frac{dT_2(r)}{dr} \Big|_{r=r_2}; \quad (11)$$

$$T_1(r)|_{r=r_1} = T_0; \quad T_2(r)|_{r=r_3} = T_c; \quad (12)$$

Здесь  $\lambda_i$  ( $i=1,2$ ) – теплопроводность соответствующих слоёв диска.

Запишем общие интегралы уравнений (4), (8), (9):

$$U_r^{(i)}(r) = C_{1i}r + C_{2i} \frac{1}{r} + (1 + \nu_i) \frac{\alpha_i}{r} \int_r^{r_i} r T_i(r) dr; \quad (13) \quad \text{где } C_{1i}, C_{2i} \quad (i=1,2), C_k \quad (k=1,2,3,4) - \text{ постоянные интегрирования.}$$

$$T_1(r) = C_1 \ln r + C_2, \quad T_2(r) = C_3 \ln r + C_4; \quad (14)$$

Неизвестные постоянные  $C_{1i}$  находим из граничных условий (5) – (7), что приводит к следующей системе линейных алгебраических уравнений:

$$\begin{cases} C_{11}D_1 - C_{21}D_2 = 0 \\ C_{11}D_1 - C_{21}D_3 - C_{12}D_4 + C_{22}D_5 - B_1 = 0 \\ C_{11}r_2 + C_{21}/r_2 - C_{12}r_2 - C_{22}/r_2 + B_2 = 0 \\ C_{12}D_4 - C_{22}D_6 - B_3 = 0 \end{cases} \quad (15)$$

где

$$\begin{cases} D_1 = E_1/(1 - \nu_1); & D_2 = E_1/[(1 + \nu_1)r_1^2]; \\ D_3 = E_1/[(1 + \nu_1)r_2^2]; & D_4 = E_2/(1 - \nu_2); \\ D_5 = E_2/[(1 + \nu_2)r_2^2]; & D_6 = E_2/[(1 + \nu_2)r_3^2]; \\ B_1 = \frac{\alpha_1 E_1}{r_2^2} \int_r^{r_2} r T_1(r) dr; & B_2 = \frac{(1 + \nu_1)\alpha_1}{r_2} \int_r^{r_2} r T_1(r) dr; & B_3 = \frac{\alpha_2 E_2}{r_3^2} \int_r^{r_3} r T_2(r) dr. \end{cases} \quad (16)$$

Неизвестные постоянные  $C_k$  ( $k=1,2,3,4$ ) находим из граничных условий (10) – (12), что даёт следующую систему алгебраических уравнений:

$$\begin{cases} C_1 \ln r_1 + C_2 - T_0 = 0, \\ C_3 \ln r_3 + C_4 - T_c = 0, \\ C_1 \ln r_2 + C_2 - C_3 \ln r_2 - C_4 = 0, \\ \lambda_1 C_1 - \lambda_2 C_3 = 0. \end{cases}; \quad (17)$$

Опуская длинные громоздкие выкладки, связанные с решением систем (15), (17), приведём окончательные результаты:

$$C_{11} = b_{11}C_{21}; \quad C_{12} = b_{12}C_{22} + b_{13};$$

$$C_{21} = \frac{a_{10}a_{22} + a_{12}a_{20}}{a_{11}a_{22} + a_{12}a_{21}};$$

$$C_{22} = \frac{a_{10}a_{21} - a_{11}a_{20}}{a_{11}a_{22} + a_{12}a_{21}};$$

$$C_1 = (\lambda_2/\lambda_1)C_3; \quad C_2 = T_0 - (\lambda_2/\lambda_1)C_3 \ln r_1;$$

$$C_3 = \frac{T_c - T_0}{(\lambda_2/\lambda_1) \ln(r_2/r_1) + \ln(r_3/r_2)};$$

$$C_4 = T_c - C_3 \ln r_3;$$

$$a_{10} = \frac{\alpha_1 E_1}{r_2^2} \int_r^{r_2} r T_1(r) dr + \frac{\alpha_2 E_2}{r_3^2} \int_r^{r_3} r T_2(r) dr;$$

$$a_{11} = \frac{E_1}{1 + \nu_1} \left( \frac{1}{r_1^2} - \frac{1}{r_2^2} \right); \quad a_{12} = \frac{E_2}{1 + \nu_2} \left( \frac{1}{r_2^2} - \frac{1}{r_3^2} \right);$$

$$a_{21} = \frac{1}{r_2} + \frac{r_2(1 - \nu_1)}{r_1^2(1 + \nu_1)}; \quad a_{22} = \frac{1}{r_2} + \frac{r_2(1 - \nu_2)}{r_3^2(1 + \nu_2)};$$

$$a_{20} = \frac{r_2 \alpha_2}{r_3^2(1 - \nu_2)} \int_r^{r_3} r T_2(r) dr - \frac{(1 + \nu_1)\alpha_1}{r_2} \int_r^{r_2} r T_1(r) dr;$$

$$b_{11} = \frac{1}{r_1^2} \frac{(1 - \nu_1)}{(1 + \nu_2)}; \quad b_{12} = \frac{1}{r_3^2} \frac{(1 - \nu_2)}{(1 + \nu_2)};$$

$$b_{13} = \frac{(1 - \nu_2)\alpha_2}{r_3^2} \int_r^{r_3} r T_2(r) dr.$$

Исследуем термоупругую реакцию конкретной системы, отражённой на рис. 1, при следующих исходных данных [2]:

$$\alpha_1 = 0.000015 \frac{1}{K}; \quad \alpha_2 = 0.000011 \frac{1}{K};$$

$$E_1 = 19500 \frac{K\bar{c}}{MM^2}; \quad E_2 = 13000 \frac{K\bar{c}}{MM^2};$$

$$\nu_1 = \nu_2 = 0.2; \quad r_1 = 0.014 M; \quad r_2 = 0.039 M;$$

$$r_3 = 0.055 M; \quad T_0 = 100^\circ C; \quad T_c = 25^\circ C$$

$$\lambda_1 = 0.04 \frac{Bm}{M \cdot K}; \quad \lambda_2 = 0.32 \frac{Bm}{M \cdot K}.$$

На рис. 2 представлено распределение температуры в двухслойном диске; на рис. 3-4 представлены распределения напряжений в двухслойном диске. Полученные кривые наглядно описывают поведение системы при температурном нагреве.

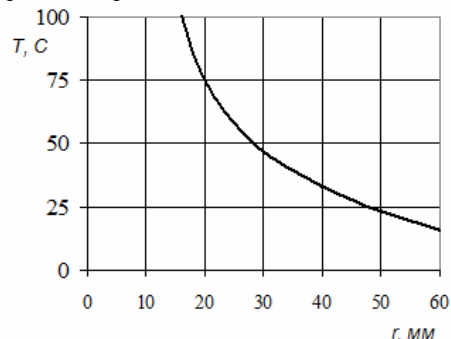


Рис. 2. График распределения температуры в двухслойном диске.

Деформации  $\varepsilon_{rr}(r)$ ,  $\varepsilon_{\varphi\varphi}(r)$  и осевое напряжение  $\sigma_{zz}(r)$  вычисляются по формулам:

$$\begin{cases} \varepsilon_{rr}^{(i)} = \frac{dU_r^{(i)}}{dr}; \varepsilon_{\varphi\varphi}^{(i)} = \frac{1}{r}U_r^{(i)}; \\ \sigma_{zz}^{(i)} = \nu_i(\sigma_{rr}^{(i)} + \sigma_{\varphi\varphi}^{(i)}) - E_i\alpha_i T_i. \end{cases} \quad (18)$$

Дальнейшее обобщение рассмотренной проблемы – изучение термоупругой реакции диска при нестационарном нагреве с учётом инерционных эффектов.

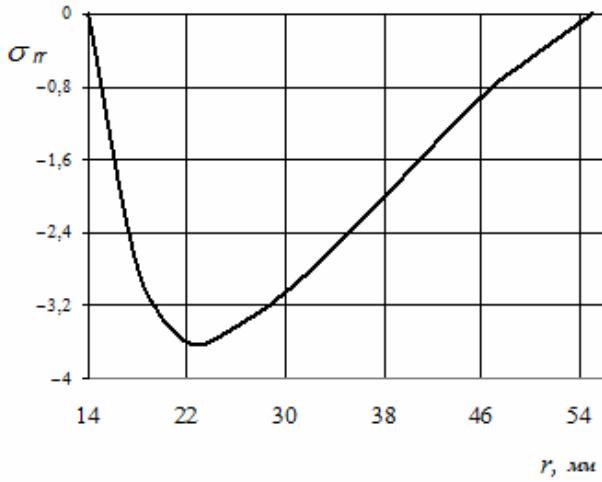


Рис. 3. График распределения напряжения  $\sigma_{rr}$  в двухслойном диске.

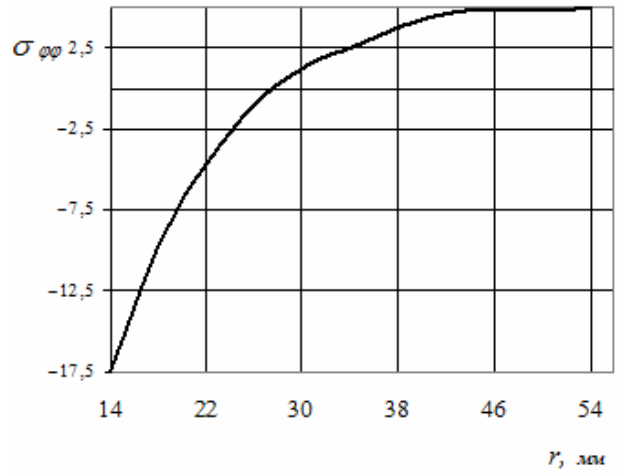


Рис. 4. График распределения напряжения  $\sigma_{\varphi\varphi}$  в двухслойном диске.

#### ЛИТЕРАТУРА:

1. Карташов Э.М., Кудинов В.А. Аналитическая теория теплопроводности и прикладной термоупругости. – Самара: Изд-во Самарского технического ун-та, 2010. 651 с.
2. Кудинов В.А., Карташов Э.М., Калашников В.В. Аналитические решения задач тепломассопереноса и термоупругости для многослойных конструкций. – М.: Высшая школа, 2005. 431 с.